

МИКРОСКОПИЧЕСКАЯ ВЕРСИЯ МОДЕЛИ
ВЗАИМОДЕЙСТВУЮЩИХ БОЗОНОВ

А. Д. Ефимов
ФТИ им. А.Ф. Иоффе, Санкт-Петербург.

Бозонное представление парных фермионных операторов

Основа: Беляев, Зелевинский [1962, 1964]

Соренсен [1966-73]

$$(a_j^+ a_j^+)^{(2)} \sim \sqrt{2 - 4y(j)} d^+$$

$$B_\mu^+ = \sum_{12} \psi(\mu 12) a_1^+ a_2^+; \quad A_{\mu\nu}^+ = \sum_{123} \psi(\mu 13) \psi(\nu 23) a_1^+ a_2^+,$$

$$B_\mu^+ \rightarrow \sum_{\alpha} x_{\mu\alpha}^{(1)} b_{\alpha}^+ + \sum_{\alpha\beta\gamma} x_{\mu\alpha\beta\gamma}^{(3)} b_{\alpha}^+ b_{\beta}^+ b_{\gamma}^+ + \dots,$$

$$A_{\mu\nu}^+ \rightarrow y^{(0)} \delta_{J,0} + \sum_{\alpha\beta} y_{\mu\nu\alpha\beta}^{(2)} b_{\alpha}^+ b_{\beta}^+ + \dots$$

Коэффициенты $x^{(i)}$, $y^{(i)}$ определяются из условия, что коммутационные соотношения фононных и бозонных операторов одинаковы. Это дает цепочку зацепляющихся нелинейных уравнений для коэффициентов разложения x , y , которые начинаются с $y^{(0)}$. Например, в случае только одного бозона, например, d^+ ,

Бозонное представление парных фермионных операторов

$$x^{(1)} = \sqrt{2 - 2y^{(0)}}, \quad y^{(2)} = -(x^{(3)2} + 2x^{(1)}x^{(3)}), \quad \dots$$

$$H = w^{20} d^+ d^+ + w^{21} d^+ d + w^{30} d^+ d^+ d^+ + w^{31} d^+ d^+ d \\ + w^{40} d^+ d^+ d^+ d^+ + w^{41} d^+ d^+ d^+ d + w^{42} d^+ d^+ dd + \text{H.c.}$$

Кишимото и Тамура [1971-81]

+ квадрупольное спаривание

+ разложение до 6 порядка в бозонном гамильтониане

+ вычисления доводились до 30 бозонов и до $l = 8^+$

$(SU(5) \subset R(5) \subset R(3))$

+ учет связи коллективных и неколлективных фононов

$|B_{J=2}^+(D^+)^n \rangle$ по теории возмущения в варианте Вигнера

Бозонное представление парных фермионных операторов

Маршалек [1980] → Кишимото и Тамура [1983]

+ на бозоны необходимо отображать именно коллективные фоновые моды, а неколлективные учитывать уже по теории возмущений

Tazaki, Takada, Kaneko, Sakata [1981]

+ доказана жесткая необходимость учета связи коллективных и неколлективных мод возбуждений (учет с $J = 2^+, 4^+$)

Yamada, Takada, Tsukuma [1989] (учет с $J = 0^+, 2^+, 4^+$), но описание только до $l = 2^+, 4^+$, далее состояния не описываются.

+ Yamada, Tsukuma [1989] необходимость модификации QRPA ($\sum \varphi^2 \leq 0.05$)

Бозонное представление парных фермионных операторов

Джолос, Янссен, Дэнау [1974-75]

+ Реализация конечного бозонного представления.

Приближение в том, что фононные операторы D_{μ}^{+} , D_{μ} ,

$[D_{\mu 1}, D_{\mu 2}^{+}]$ — 35 элементов, реализуют замкнутую

SU(6)-алгебру, если выполняется условие

$$[[D_{\mu 1}, D_{\mu 2}^{+}], D_{\mu 3}^{+}] = -\frac{1}{\Omega}(\delta_{\mu 1, \mu 2} D_{\mu 3}^{+} + \delta_{\mu 1, \mu 3} D_{\mu 2}^{+}),$$

$$D_{\mu}^{+} = \frac{1}{\sqrt{2}} \sum_{1,2;\tau=n,p} [\psi_{12} a_1^{+} a_2^{+} + \varphi_{12} a_2 a_1] (j_1 j_2 m_1 m_2 | 2\mu)_{\tau}$$

$$= \frac{1}{\sqrt{8}} \sum_{1,2;\tau=n,p;\eta=0;1} z_{12}^{(\eta)} [a_1^{+} a_2^{+} + (-1)^{\eta} a_2 a_1] (j_1 j_2 m_1 m_2 | 2\mu)_{\tau};$$

$$\langle [D_{\mu}, D_{\mu}^{+}] \rangle = \sum_{1,2;\tau=n,p} (\psi_{12}^2 - \varphi_{12}^2) = \sum_{1,2;\tau=n,p} z_{12}^{(0)} z_{12}^{(1)} = 1,$$

которое позволяет найти выражение для Ω , и как оказывается, оно соответствует максимальному числу квадрупольных бозонов.

Бозонное представление парных фермионных операторов

$$\frac{1}{\Omega} = \frac{5}{3} \sum_{123} \frac{1}{2j_2 + 1} z_{12}^{(0)} z_{12}^{(1)} (z_{23}^{(1)2} + z_{23}^{(0)2}).$$

$$D_{\mu}^{+} \longrightarrow d_{\mu}^{+} \sqrt{1 - \frac{\hat{n}_d}{\Omega}} = \frac{1}{\sqrt{\Omega}} d_{\mu}^{+} \sqrt{\Omega - \hat{n}_d} = \frac{1}{\sqrt{\Omega}} d_{\mu}^{+} s;$$

$$\frac{1}{\aleph_L} (D^{+} D^{+})^{(L)} \longrightarrow \frac{1}{\sqrt{2}} (d^{+} d^{+})^{(L)}_{ss},$$

$$|> \longrightarrow \frac{1}{\sqrt{\Omega!}} (s^{+})^{\Omega} |); \quad |l> \longrightarrow |l),$$

где $|>$ – вакуум фононов, $|l>$ – фононное состояние со спином l , $|)$ – вакуум бозонов, $|l)$ – бозонное коллективное состояние со спином l , при этом основное состояние $|0)$ не является вакуум бозонов, т.е. $|0) \neq |)$ и аналогично $|0> \neq |>$.

$$H_{\text{IBM}} = \varepsilon_d \hat{n}_d + \left(k_1 d^{+} \cdot d^{+} s s + k_2 (d^{+} d^{+})^{(2)} \cdot d s + \text{H.c.} \right)$$

$$+ \frac{1}{2} \sum_L C_L (d^{+} d^{+})^{(L)} \cdot (d d)^{(L)}; \quad T_{\mu \text{IBM}}^{(E2)} = e^{*} (d^{+} s + s^{+} d + \chi_{E2} d^{+} d)_{\mu}^{(2)}$$

Как решать бозонную задачу

$$\begin{aligned}d_{\mu=2}^+ & \\ S_+ & \sim (d^+ d^+)_{\mu=0} \\ (d^+ d^+)_{\mu=2} & \\ \Delta_3^+ & \sim (d^+ d^+ d^+)_{\mu=3} \\ \Delta_0^+ & \sim (d^+ d^+ d^+)_{\mu=0}\end{aligned}\tag{1}$$

$$|v \ \omega \ L \rangle = (\Delta_3^+)^{\delta} \sum_{m=0}^{\omega} \sum_{n \geq m} a_n^m (d_2^+)^{\kappa_1 + 2n - 3m} (d^+ d^+)_2^{\kappa_2 - 2n + 3m}$$

$$\times (\Delta_0^+)^{\omega - m} S_+^n |0 \rangle$$

$$\kappa_1 = L - v + 3\omega$$

$$\kappa_2 = (2v - L - 6\omega - 3\delta)/2$$

$$\delta = (1 - (-1)^L)/2$$

$$S_- |v \ \omega \ L \rangle = 0$$

Вариационный метод определения энергий коллективных состояний

При построении минимизируемого функционала используется модельный гамильтониан, включающий среднее поле, монопольные и факторизованные квадрупольные частично-частичные и частично-дырочные силы. После стандартного (u, v) – преобразования Боголюбова, переходим от операторов частиц α_1 к операторам квазичастиц a_1 , $\alpha_1^+ = u_1 a_1^+ + v_1 a_{\bar{1}}$.

После этого гамильтониан имеет вид

$$\tilde{H} = H - \sum_{\tau=p,n} \lambda_{\tau} \hat{N}_{\tau} = \Phi_{00} + H_{11} + H_{20+02} + V_{22} + V_{40+04} + V_{31+13},$$

Φ_{00} – энергия квазичастичного вакуума.

λ_p, λ_n – протонный и нейтронный химические потенциалы,

$$h_{RPA} = H_{11} + \hat{V}_{22} + \hat{V}_{40+04},$$

Вариационный метод определения энергий коллективных состояний

Параметры бозонного гамильтониана будем получать с помощью процедуры Марумори, когда сравниваются м.э. от квазичастичного гамильтониана по фононным функциям с м.э. от бозонного гамильтониана по бозонным функциям, рассматривая только минимальное число фононов и бозонов.

$$\varepsilon_d^{(0)} = \langle |[D_\mu, [h_{RPA}, D_\mu^+]]| \rangle;$$

$$2 \left(k_1 \sqrt{\Omega(\Omega - 1)} \right)^{(0)} = \frac{1}{5} \sqrt{\frac{2}{N_0}} \sum_{\mu} \langle |[[h_{RPA}, D_\mu^+], D_{\bar{\mu}}^+]| \rangle;$$

$$(k_2 \sqrt{\Omega - 1})^{(0)} = \frac{1}{\sqrt{2N_2}} \sum_{m1, m2} \langle |[[[D_M, H_{20+02} + \hat{V}_{31+13}], D_{m1}^+], D_{m2}^+]| \rangle$$

$$C_L^{(0)} = \sum_{m1, m2, m3, m4} \frac{1}{N_L} \langle |[D_{m2}, [D_{m1}, [[h_{RPA}, D_{m3}^+], D_{m4}^+]]]| \rangle$$

$$\times (22m_1 m_2 | LM)(22m_3 m_4 | LM).$$

Вариационный метод определения энергий коллективных состояний

Квазичастичный гамильтониан только с учетом D -фононов удобно представить в виде:

$$\tilde{H} \rightarrow E_0^{(\text{qp-ph})} + H_{\text{IBM}};$$

$$H_{\text{IBM}} = \varepsilon_d(\varepsilon_d^{(0)})\hat{n}_d + 2\left(k_1(\underline{k}_1^{(0)})\sqrt{\Omega(\Omega-1)}\right)\hat{P}_1 \\ + (k_2\sqrt{\Omega-1})\hat{P}_2 + \sum_L C_L \hat{C}_L,$$

где $E_0^{(\text{qp-ph})}$ есть энергия квазичастичного и фононного вакуумов, а бозонные операторы имеют вид

$$\hat{n}_d = \sum_{\mu} d_{\mu}^{\dagger} d_{\mu}; \quad \hat{P}_1 = \frac{1}{2\sqrt{\Omega(\Omega-1)}}(d^{\dagger} \cdot d^{\dagger} s s + s^{\dagger} s^{\dagger} d \cdot d);$$

$$\hat{P}_2 = \frac{1}{\sqrt{\Omega-1}}\left((d^{\dagger} d^{\dagger})^{(2)} \cdot d s + d^{\dagger} s^{\dagger} \cdot (d d)^{(2)}\right);$$

$$\hat{C}_L = \frac{1}{2}(d^{\dagger} d^{\dagger})^{(L)} \cdot (d d)^{(L)}.$$

Вариационный метод определения энергий коллективных состояний

$$n_d(I) = (I | \hat{n}_d | I), P_1(I) = (I | \hat{P}_1 | I), P_2(I) = (I | \hat{P}_2 | I), \langle C_L \rangle_I = (I | \hat{C}_L | I).$$

$E_0^{(\text{qp-ph})}$ включает Φ_{00} и энергию корреляций фононного вакуума $E_0^{(B)}$.

$$E_0^{(B)}(\lambda=2) = 5 \sum_{\tau 12} e_{12} \varphi_{12\tau}^2 + \sum_{\eta \tau 12} \frac{(-1)^\eta}{2} |G_\tau^{(2)}| P_\tau^{(\eta)} \langle 1 | |\tilde{q}|^2 \rangle_\tau (-1)^{l_2} M_{12}^{(\eta)} \varphi_{12} \\ + \frac{1}{2} \sum_{\tau \tau' 12} |k_{\tau \tau'}| Q_{\tau'} \langle 1 | |q|^2 \rangle_\tau (-1)^{l_2} L_{12}^{(0)} \varphi_{12}.$$

Если использовать стандартный вариант КМСФ, то

$$E_0^{(B)}(\lambda=2) \rightarrow 5/2 \varepsilon_d,$$

Дополнительные условия

1 – это нормировка D -фононов.

2 – Бозонные волновые функции представимы в виде

$$|I\rangle = \sum_{n_d, \nu, \omega_\Delta} \alpha_d(n_d, \nu, \omega_\Delta, I) \frac{1}{\sqrt{(\Omega - n_d)!}} (s^+)^{\Omega - n_d} |n_d, \nu, \omega_\Delta, I\rangle,$$

где $|n_d, \nu, \omega_\Delta, I\rangle$ есть нормированные функции квадрупольных бозонов, соответствующие неприводимому представлению группы $SU(5)$ с квантовыми числами, соответствующими числу квадрупольных бозонов (n_d), бозонному сениорити (ν), то есть числу квадрупольных бозонов, не связанных в нулевой угловой момент, число троек ν , связанных в нулевой угловой момент (ω_Δ). В этом случае условие нормировки имеет вид

$$\langle I|I\rangle = \sum_{n_d, \nu, \omega_\Delta} \alpha_d^2(n_d, \nu, \omega_\Delta, I) = 1,$$

3 – $u_1^2 + v_1^2 = 1$

4 – число частиц в среднем через $\lambda_\tau(I)$.

5 – Полное число бозонов Ω – неизменность и целостность

Дополнительные условия

Таким образом, мы имеем три набора неизвестных величин: параметры преобразования Боголюбова (u, v) , фоновые амплитуды ψ, φ или $z^{(n)}$ и амплитуды $\{\alpha_D\}$, характеризующие фоновый состав волновых функций $|l\rangle$.

Такой способ определения этих величин приводит к тому, что все три набора параметров оказываются взаимосвязанными и зависящими от спина состояния l .

Возникает задача их взаимного согласования, что оказывается невозможным. Кроме того

$$y_j = 1 - n_j / (j + 1/2),$$

где n_j есть среднее число квазичастиц на уровне сферического поля j , y_j есть вероятность того, что уровень $j|lm\rangle$ свободен от квазичастиц, т.е. $0 < y_j < 1$.

Дополнительные условия

Достичь самосогласования всех трех определяемых амплитуд $(z^{(\eta)}, u(v), \{\alpha_d\})$ оказывается невозможно как при использовании стандартного варианта КМСФ, где амплитуды φ часто оказываются значительными, так и в приближении ТД. Чтобы самосогласование стало возможным, необходимо оставаясь в рамках КМСФ, обеспечить малость амплитуд φ . Выполнение этого условия при фиксированных значениях силовых констант осуществляется введением слагаемого, регулирующего величину суммы квадратов φ :

$$\Phi_{\varphi} \sim \chi\left(\sum_{\tau 12} \varphi_{12\tau}^2 + \frac{1}{2}\right) \sim \chi\left(\sum_{\tau 12} (z_{12}^{(1)2} + z_{12}^{(0)2})_{\tau}\right).$$

$$0.03 < \sum \varphi^2 < 0.05$$

Дополнительные условия

$$\begin{aligned}
 \Phi' &= -\frac{1}{5}\omega(n_d(l)+5/2) \sum_{\mu} \langle |[D_{\mu}, D_{\mu}^+] | \rangle - \sum_{\tau} \lambda_{\tau} N_{\tau} - \sum_{\tau,j} e_{\tau j} (u_j^2 + v_j^2)_{\tau} \\
 &\quad - E_l \sum_{n_d, v, \omega} \alpha_d^2(n_d, v, \omega, l) + \frac{6}{5} \frac{1}{\Omega(z(\eta))} \omega'(n_d + 5/2) \\
 &\quad + \frac{1}{2} \chi(n_d(l) + 5/2) \sum_{\tau 12} (z_{12}^{(1)2} + z_{12}^{(0)2})_{\tau} - \frac{1}{2} \sum_{\tau 1} ((2j_1 + 1)\eta_1 y_1)_{\tau} \\
 &= -\omega(n_d(l) + 5/2) \sum_{\tau 12} (z_{12}^{(1)} z_{12}^{(0)})_{\tau} - \sum_{\tau} \lambda_{\tau} N_{\tau} - \sum_{\tau,j} e_{\tau j} (u_j^2 + v_j^2)_{\tau} - \\
 &\quad - E_l \sum_{n_d, v, \omega_{\Delta}} \alpha_d^2(n_d, v, \omega_{\Delta}, l) + 2\omega' \sum_{\tau 12} (z_{12}^{(1)} z_{12}^{(0)} n_2^{(1)})_{\tau} \left(n_d(l) + 5/2 \right) \\
 &\quad + \frac{1}{2} \chi(n_d(l) + 5/2) \sum_{\tau 12} (z_{12}^{(1)2} + z_{12}^{(0)2})_{\tau} - \frac{1}{2} \sum_{\tau 1} ((2j_1 + 1)\eta_1 y_1)_{\tau},
 \end{aligned}$$

Связь коллективных и неколлективных состояний

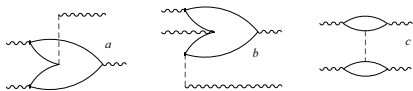


Рис.: Диаграммы, иллюстрирующие члены $C_L^{(0)}$.

Однофононная энергия E_1 , с учетом рассматриваемых поправок, определяется из уравнения

$$\varepsilon_d^{(0)} - E_1 = R_1(E_1) + R_2(E_1),$$

$$R_1(E_1) = \sum_{ij} \frac{|v_{ij}^{(1)}|^2}{\omega_i + \varepsilon_d^{(0)} - E_1}, \quad R_2(E_1) = \sum_{i\lambda J} \frac{|v_{i\lambda J}^{(2)}|^2}{i\lambda J \omega_i + 2\varepsilon_d^{(0)} + C_\lambda^{(0)} - E_1}.$$

$$v_{i,J}^{(1)} = \langle D | H | B_J^+ D^+ \rangle, \quad v_{i,\lambda,J}^{(2)} = \langle D | H | B_J^+ (D^+ D^+)^{(\lambda)} \rangle_n,$$

Связь коллективных и неколлективных состояний

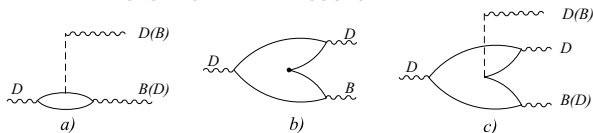


Рис.:

Двухфононная энергия $E_2^{(L)}$

$$2\varepsilon_d^{(0)} + C_L^{(0)} - E_2^{(L)} = R_3^{(L)}(E_2^{(L)}) + R_4^{(L)}(E_2^{(L)}) + R_5^{(L)}(E_2^{(L)}) + R_6^{(L)}(E_2^{(L)}),$$

$$R_3^{(L)}(E_2^{(L)}) = \sum_i \frac{|v_{iL}^{(3)}|^2}{\omega_i - E_2^{(L)}}, \quad R_4^{(L)}(E_2^{(L)}) = \sum_{iJ} \frac{|v_{iLJ}^{(4)}|^2}{\omega_i + \varepsilon_d^{(0)} - E_2^{(L)}},$$

$$R_5^{(L)}(E_2^{(L)}) = \sum_{i\lambda J} \frac{|v_{iL\lambda J}^{(5)}|^2}{\omega_i + 2\varepsilon_d^{(0)} + C_\lambda^{(0)} - E_2^{(L)}}, \quad R_6^{(L)}(E_2^{(L)}) = \sum_{i\lambda J} \frac{|v_{iL\lambda J}^{(6)}|^2}{\omega_i + E_{3\lambda}^{(0)} - E_2^{(L)}},$$

$$v_{i,L}^{(3)} = \langle (DD)_n^{(L)} | H | B_L^+ \rangle, \quad v_{i,L,J}^{(4)} = \langle (DD)_n^{(L)} | H | (B_J^+ D^+)^{(L)} \rangle_{\perp n},$$

$$v_{i,L,\lambda,J}^{(5)} = \langle (DD)_n^{(L)} | H | B_J^+ (D^+ D^+)_n^{(\lambda)} \rangle,$$

$$v_{i,L,\lambda,J}^{(6)} = \langle (DD)_n^{(L)} | H | B_J^+ (D^+ D^+ D^+)_n^{(\lambda)} \rangle,$$

Связь коллективных и неколлективных состояний

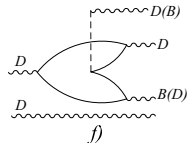
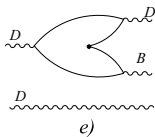
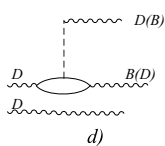
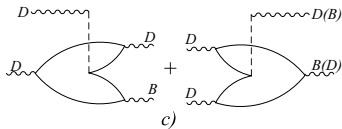
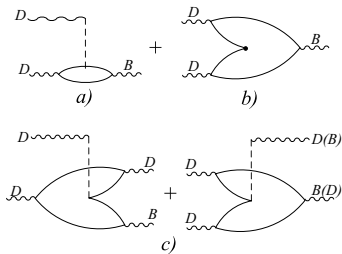
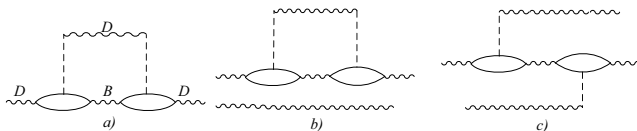


Рис.:



Бозонное описание пересечения полос

$$\Psi(I) = \psi_c(I) + \sum_{i_1, c_1} \alpha_{i_1, c_1} | (b_{i_1}^+ \psi_{c_1}) \rangle + \dots,$$

$$H_b = H_{b_1} + H_{b_2}; \quad H_{b_1} = H_{\text{IBM}} + \sum_i \omega_i b_i^+ b_i + V^{(1)}; \quad H_{b_2} = V^{(2)} + V^{(3)}.$$

$$V^{(1)} \sim \left(d^+ d + \alpha d^+ d^+ \right)^{(J)} \cdot b_J; \quad (d^+ d d + \beta d^+ d^+ d)^{(J)} \cdot b_J;$$

$$V^{(2)} \sim (d^+ d^+ d^+)^{(J)} \cdot b_J; \quad V^{(3)} \sim (b_{J1}^+ b_{J2})^{(L)} \cdot \left(d^+ + \alpha d^+ d^+ + \beta d^+ d \right)^{(L)}$$

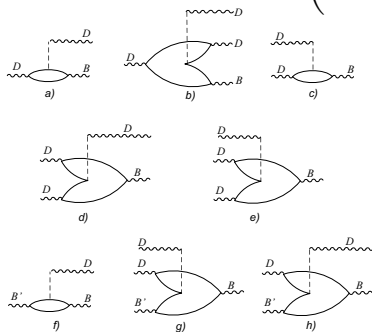


Рис.: Граф. представление матр. элем. взаимодей. D - и B -фононов.

Волнистой линией обозначается фонон, тонкой линией – квазичастица, вертикальной – взаимодей. $V^{(1)}$ – (a), (b), (c), (d); $V^{(2)}$ – (e); $V^{(3)}$ – (f), (g), (h).

Сверхтекучие свойства ядра при развитой коллективности

$$2(2j_i + 1)y_i(\epsilon_i - \lambda)u_i v_i - \left((2j_i + 1)y_i \tilde{\Delta} + 0.4n_d \bar{Q}_\tau q_{ii} \right) (u_i^2 - v_i^2) = \bar{a}_i u_i - \bar{b}_i v_i,$$

$$\bar{a}_i(\bar{b}_i) = 0.4n_d \bar{Q}_\tau \sum_{1 \neq i} q_{1i} u_1(v_1), \quad q_{12} = \langle 1 || \frac{\partial V(r)}{\partial r} Y_2(\Omega) || 2 \rangle (-1)^{l_2} z_{12}^{(1)},$$

$$Q_\tau = \sum_{12} q_{12}(u_1 v_2 + u_2 v_1)_\tau, \quad \bar{Q}_\tau = \sum_{\tau'} |\kappa_{\tau\tau'}| Q_{\tau'}, \quad \tilde{\Delta} = \frac{G}{2} \sum_1 (2j_1 + 1) u_1 v_1 y_1.$$

$$e_i = (\epsilon_i - \lambda)(u_i^2 - v_i^2) + 2\Delta u_i v_i, \quad \Delta = \frac{G}{2} \sum_1 (2j_1 + 1) u_1 v_1.$$

Возникает возможность расчета амплитуд u_i и v_i при полной блокировке одночастичного уровня, когда $y_i = 0$.

Величины $y_j v_j^2$ являются вероятностью того, что нуклон на уровнях сферического среднего поля jlm участвует в образовании куперовской пары вне всякого условия.

Сверхтекучие свойства ядра при развитой коллективности

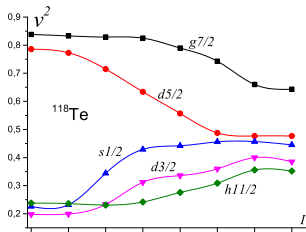


Рис.: Значения v_i^2 для ^{118}Te .

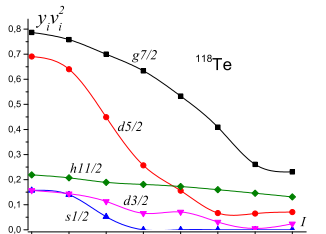


Рис.: Значения $y_i v_i^2$ для ^{118}Te .

Асимптотически, по мере заполнения уровней квазичастицами, формирующими многофононное состояние, они выпадают из формирования сверхтекучести, но при этом сохраняются ненулевые значения параметров u_j и v_j , необходимые для сохранения частично-дырочного характера коллективных фононов, формирующих многофононное состояние.

Финальные параметры бозонного гамильтониана

В описанном подходе энергия квазичастично-фононного вакуума $E_0^{(\text{qp-ph})}$ и параметры $H_{\text{IBM}}(\tilde{\varepsilon}_d, \tilde{k}_1, k_2, C_L)$ довольно сильно зависят от энергии возбуждения или спина I . Были перегруппированы члены в E_I (полная энергия) $\varepsilon_d, k_1, k_2, C_L$.

$$E_I = \bar{E}_I + (I | H_{\text{IBM}}(\tilde{\varepsilon}_d, \tilde{k}_1, k_2, C_L) | I), \quad \bar{E}_I = E_I^{(\text{q.p.})} + E_0^{(D)} + \sum_{\tau} (\lambda_{\tau} - \lambda_{0\tau}) N_{\tau},$$

где $E_I^{(\text{q.p.})} = \Phi_{00}$ – энергия квазичастичного вакуума, $E_0^{(D)}$ – корреляционная энергия, определяемая D -фононом. Внебозонная энергия \bar{E}_I заметно растет с ростом спина. Для того, чтобы \bar{E}_I оставалась неизменной для всех рассматриваемых состояний ядра, т.е. $\bar{E}_I = \bar{E}_0$.

$$\begin{cases} \bar{E}_0 = \bar{E}_I - \xi_1 n_d - \xi_2 P_1, & I \geq 2^+; \\ \varepsilon_d = \tilde{\varepsilon}_d + \xi_1; & 2k_1 \sqrt{\Omega(\Omega - 1)} = 2\tilde{k}_1 \sqrt{\Omega(\Omega - 1)} + \xi_2, \end{cases}$$

Финальные параметры бозонного гамильтониана. Бозонный оператор

E_2 -перехода

$$\xi_2 = (2\tilde{k}_1 \sqrt{\Omega(\Omega - 1)})_{(I=0)} - (2\tilde{k}_1 \sqrt{\Omega(\Omega - 1)})_{(I)},$$

$$\bar{E}_I = \bar{E}_{I=0}, \text{ т.е. } \xi_1 n_d(I) = \bar{E}_I - \bar{E}_{I=0} - \xi_2 P_1(I).$$

Полная энергия, отсчитанная от $\sum \lambda_{0\tau} N_\tau$ равна

$$E_I = \bar{E}_0 + (I | H_{\text{IBM}} | I), \quad \Delta E_I = E_I - E_0.$$

Рассмотрена совокупность процессов, определяющих параметры бозонного оператора квадрупольных переходов в представлении МВБ1. Учет этих процессов позволил при описании абсолютных значений $B(E_2)$ не вводить эффективные заряды. Проведенные численные оценки показали, что разумным оказалось ограничиться одним дополнительным членом к E_2 -оператору по отношению к тому, что традиционно используется в МВБ1. Используемый в расчетах оператор имеет вид

$$\hat{T}(E_2) = e^* (d^+ s + s^+ d + \chi_{E_2} d^+ d)^{(2)} + e_0^* (s^+ (d^+ d)^{(0)} d + d^+ (d^+ d)^{(0)} s)^{(2)}.$$

Перенормировка параметров гамильтониана МВБ

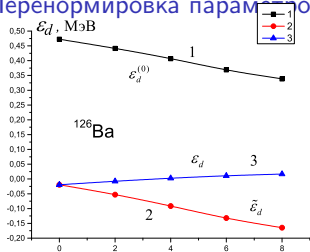


Рис.: Перен. и переопр. ε_d .

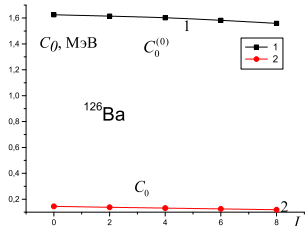


Рис.: Перенор. C_0 .

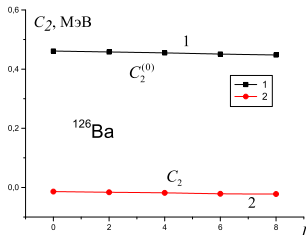


Рис.: Перенор. C_2 .

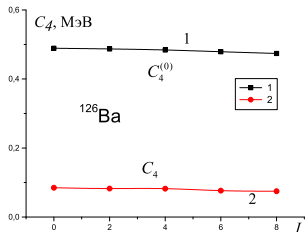


Рис.: Перенор. C_4 .

Результаты расчетов в самосогласованной схеме

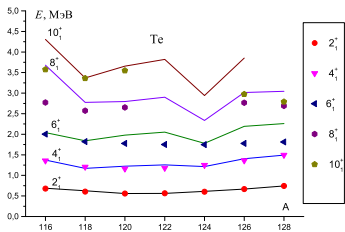


Рис.: Эксп. и расч. зн. эн. сост. ирраст-полос в из. Те.

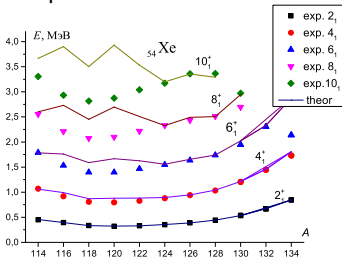


Рис.: Теор. и эксп. эн. ирраст-сост. в из. Хе.

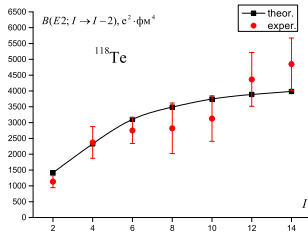


Рис.: Эксп. и расч. зн. $B(E2)$ вдоль ирраст-полосы для ^{118}Te .

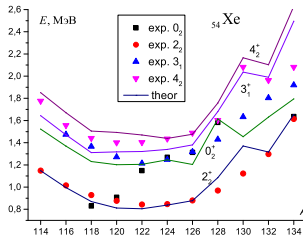


Рис.: Теор. и эксп. эн. вне ирраст-сост. в из. Хе.

Бозонное описание пересечения полос

$$\Psi(I) = \psi_c(I) + \sum_{i_1, c_1} \alpha_{i_1, c_1} | (b_{i_1}^+ \psi_{c_1}) \rangle + \dots,$$

$$H_b = H_{b_1} + H_{b_2}; \quad H_{b_1} = H_{\text{IBM}} + \sum_i \omega_i b_i^+ b_i + V^{(1)}; \quad H_{b_2} = V^{(2)} + V^{(3)}.$$

$$V^{(1)} \sim \left(d^+ d + \alpha d^+ d^+ \right)^{(J)} \cdot b_J; \quad (d^+ d d + \beta d^+ d^+ d)^{(J)} \cdot b_J;$$

$$V^{(2)} \sim (d^+ d^+ d^+)^{(J)} \cdot b_J; \quad V^{(3)} \sim (b_{J1}^+ b_{J2})^{(L)} \cdot \left(d^+ + \alpha d^+ d^+ + \beta d^+ d \right)^{(L)}$$

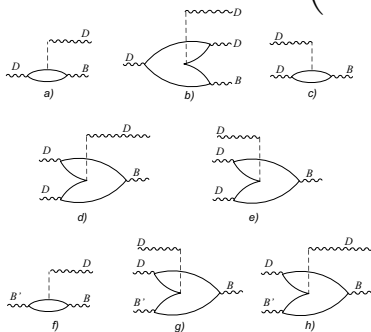


Рис.: Граф. представление матр. элем. взаимодей. D - и B -фононов. Волнистой линией обозначается фонон, тонкой линией – квазичастица, вертикальной – взаимодей. $V^{(1)}$ – (a), (b), (c), (d); $V^{(2)}$ – (e); $V^{(3)}$ – (f), (g), (h).

Бозонное описание пересечения полос

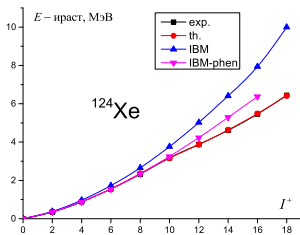
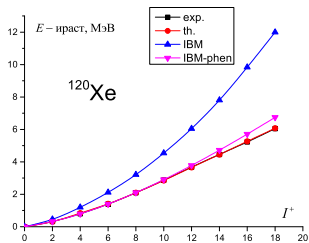


Рис.: Энергии состояний ирраст-полосы для ^{120}Xe и в ^{124}Xe . "IBM" соответствует без $V^{(2)}$ и $V^{(3)}$.

Бозонное описание пересечения полос

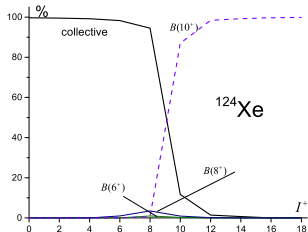
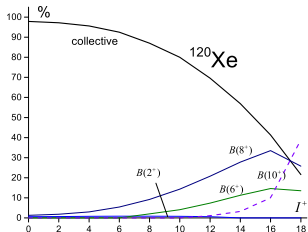


Рис.: Боз. сост. волн. функ. ираст-полос в ^{120}Xe и в ^{124}Xe .

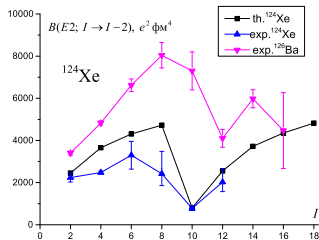
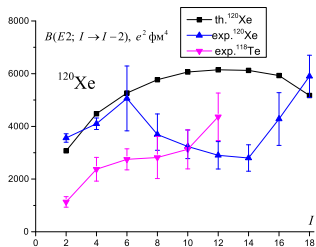


Рис.: Теор. вер. $E2$ -переходов в ^{120}Xe и в ^{124}Xe .

Бозонное описание пересечения полос

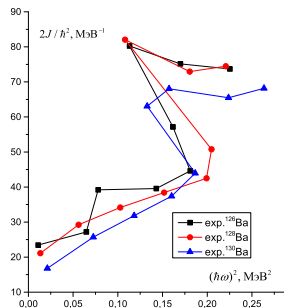
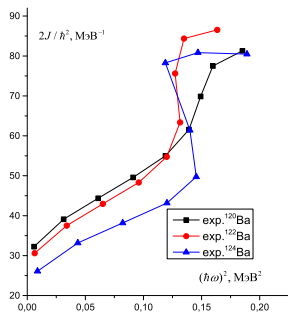


Рис.: Эффект. моменты инерции от $(\hbar\omega)^2$ для $^{120-124}\text{Ba}$ и для $^{126-130}\text{Ba}$.

Бозонное описание пересечения полос

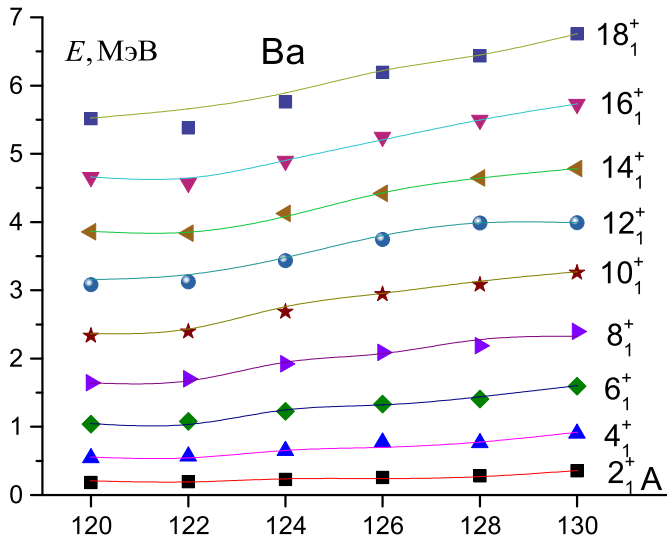


Рис.: Теор. и эксп. знач. энергий в изотопах Ba.

Бозонное описание пересечения полос

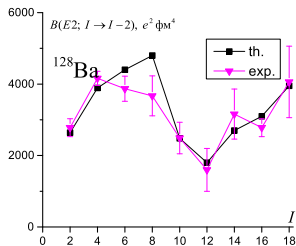
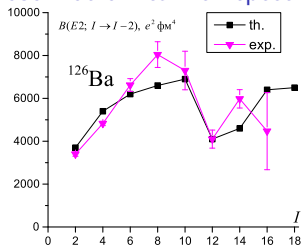


Рис.: Теор. и эксп. зн. $B(E2)$ для ^{126}Ba и ^{128}Ba .

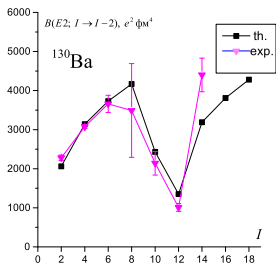


Рис.: То же для ^{130}Ba .

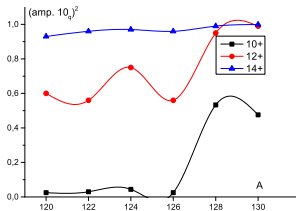


Рис.: Вклад в волн. функ. состояний со спинами $10^+, 12^+, 14^+$, содержащих $(h_{11/2}^2)^{10^+}$ в $^{120-130}\text{Ba}$.

Бозонное описание пересечения полос

Таблица: Параметры, используемые в расчетах для изотопов Ва.

A	$G^{(2)}$	κ_{nn}	κ_{np}	ζ
120	1.50	0.390	1.56	0.975
122	1.55	0.390	1.56	0.960
124	1.50	0.393	1.57	0.920
126	1.50	0.393	1.57	0.906
128	1.80	0.375	1.50	0.837
130	1.82	0.395	1.58	0.814